

УДК 666.762

DOI: 10.17223/24135542/1/5

**В.Л. Радишевский<sup>1</sup>, О.К. Лепакова<sup>2</sup>, Н.И. Афанасьев<sup>2</sup>**

<sup>1</sup> *Томский государственный университет (Томск, Россия)*

<sup>2</sup> *Томский научный центр СО РАН (Томск, Россия)*

## **Синтез, структура и свойства МАХ-фаз $Ti_3SiC_2$ и $Nb_2AlC$**

*Методом самораспространяющегося высокотемпературного синтеза получены композиционные материалы на основе МАХ-фаз  $Ti_3SiC_2$  и  $Nb_2AlC$ . Установлены режимы СВ-синтеза, обеспечивающие в материале максимальное содержание фаз  $Ti_3SiC_2$  и  $Nb_2AlC$ . Исследованы фазовый состав и микроструктура СВС-материалов на основе МАХ-фаз  $Ti_3SiC_2$  и  $Nb_2AlC$ .*

**Ключевые слова:** самораспространяющийся высокотемпературный синтез; структура; МАХ-фазы.

Создание новых материалов и технологий их производства является одной из важных научных и прикладных задач физического материаловедения. При разработке таких материалов особый интерес представляют материалы нового класса – МАХ-фазы. Это тройные соединения, которые отвечают общей формуле  $M_{n+1}AX_n$ , где  $M$  – переходный металл;  $A$  – элемент IIIA или IVA группы периодической системы элементов;  $X$  – углерод или азот (или оба). Отличительная особенность этих материалов заключается в строении гексагональных кристаллических решёток, в которых слои атомов элементов  $M$  и  $A$  чередуются в определённой последовательности, а атомы углерода (или азота) располагаются в октаэдрических порах между атомами элемента  $M$ . Особенности строения их кристаллических решёток обуславливают уникальное сочетание в таких материалах свойств металла и керамики. Для получения материалов на основе МАХ-фаз используют различные методы [1–5]. Основным методом получения материалов на основе МАХ-фаз является спекание, которое требует больших затрат энергии и времени. Альтернативой спеканию является самораспространяющийся высокотемпературный синтез (СВС).

В настоящей работе изучены фазовый состав, микроструктура и некоторые свойства СВС-материалов на основе МАХ-фаз  $Ti_3SiC_2$  и  $Nb_2AlC$ . Для приготовления реакционных смесей использовали порошки титана марки ТПП8, кремния марки КР-1 (<20 мкм), углерода марки ПМ75 (< 0,033 мкм), ниобия (ТУ 48-4-284-73, >63) и алюминия марки АСД4.

### **Экспериментальная часть**

Фазовый состав СВ-синтезированных материалов определяли на дифрактометре ДРОН-2 (СоК  $\alpha$ -излучение). Для изучения микроструктуры использовали оптический (Axiovert 200M, Karl Zeiss) и растровый элект-

тронный (SEM515, Philips) микроскопы. Для определения концентрации компонентов применяли микрорентгеноспектральный анализ (CAMEBAX MICROBEAM).

На рис. 1 представлена термограмма горения состава Ti-Si-C ( $Ti_3SiC_2$ ). Максимальная температура горения составляет  $(2\ 373 \pm 25)$  К, что заметно ниже адиабатической температуры горения (3 008 К), но выше температур плавления титана (1 937 К), кремния (1 723 К), а также двойных и тройных эвтектик в исследуемой системе.

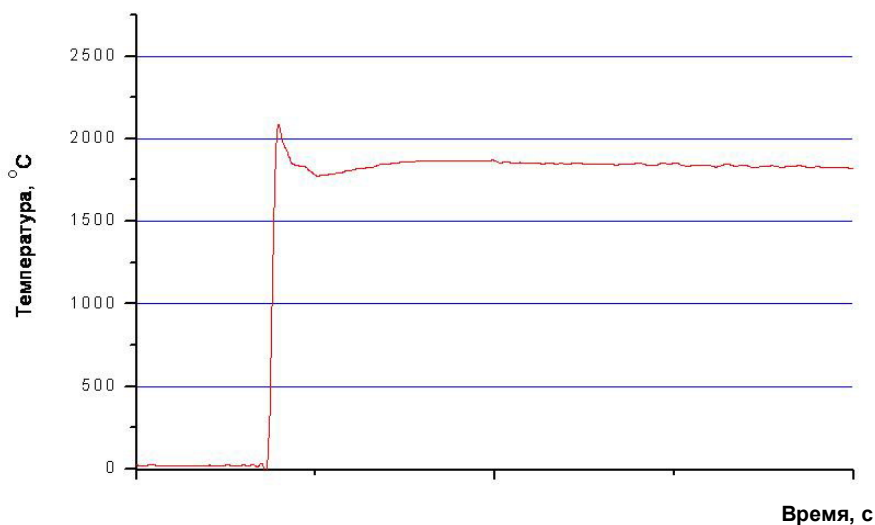


Рис. 1. Термограмма процесса горения системы Ti-Si-C

Самораспространяющийся высокотемпературный синтез в системе Ti-Si-C с избытком кремния приводит к образованию композиционного материала  $Ti_3SiC_2$  – (12–18) об. % TiC (табл. 1).

Т а б л и ц а 1

**Фазовый состав композитного материала в зависимости от режима обработки**

Режим обработки	Фазовый состав, об. %		
	$Ti_3SiC_2$	TiC	$TiSi_2$
СВС (пористый продукт)	82–88	18–12	Следы
СВС + спекание пористого продукта при 1 423 К, 4 ч	92–93	7	Следы
СВС + дробление и помол пористого продукта + спекание порошка при 1 473 К, 4 ч	93	7	Следы
СВС + дробление и помол пористого продукта + спекание порошка при 1 673 К, 4 ч	100	Следы	–

Наблюдаются также следы силицидов TiSi и  $TiSi_2$ . После дополнительного спекания продукта СВС в виде образца или порошка, полученного размолотом, при температуре 1 473 К в течение 4 ч в вакууме  $10^{-4}$  мм рт. ст.

содержание фазы  $Ti_3SiC_2$  повышается до 92–98 об. %, а фазы  $TiC$  – соответственно понижается. Следы силицидов при этом сохраняются. Увеличение температуры отжига до 1 673 К при сохранении продолжительности спекания приводит к образованию однофазного материала  $Ti_3SiC_2$ .

На рис. 2 приведены микроструктуры изломов СВС-композиционного материала  $Ti_3SiC_2+15$  об. %  $TiC$  после механических испытаний на сжатие. Видно, что материал под нагрузкой претерпел интер- и транскристаллитное расслоение.

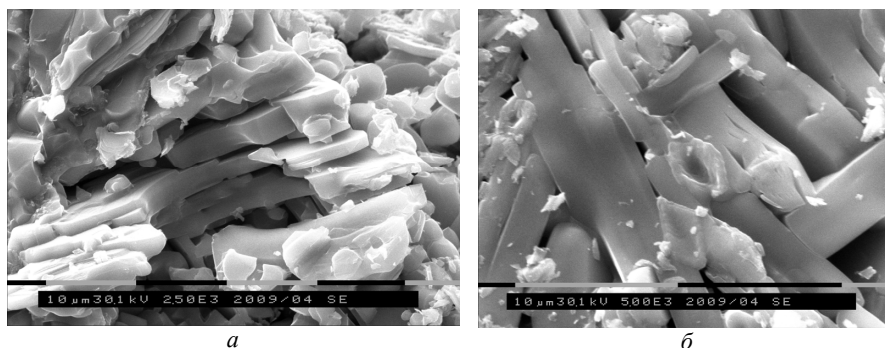


Рис. 2. Структура излома СВС-образца  $Ti_3SiC_2+15$  об. %  $TiC$  после механических испытаний

Поскольку смесь состава  $2Nb+Al+C$  малоэкзотермична, то получить качественный продукт на основе  $Nb_2AlC$  методом СВС без дополнительных технологических приёмов не удаётся. По данным рентгенофазового анализа основной фазой в синтезированном продукте является  $Nb_2AlC$ , присутствуют  $NbC$  и интерметаллид ниобия. На рис. 3 приведена структура поверхности излома. Видны характерные для МАХ-фаз зерна в виде пластин. Поскольку образец не был предварительно деформирован, то слоистая структура его зёрен не выявляется.

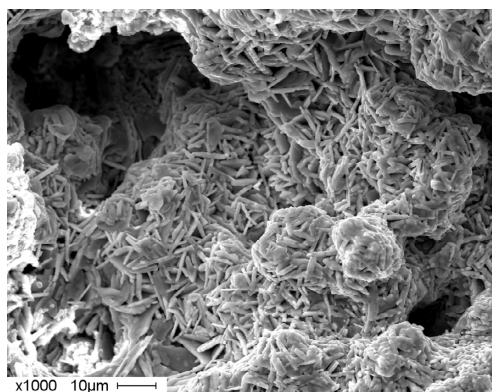


Рис. 3. Структура излома СВС-образца  $Nb_2AlC$

На первом этапе исследований стояла задача получить в режиме горения материал с наноламинатной структурой в четырёхкомпонентной системе Nb–Al–C–N (аналог соединению  $Ti_2AlN_{0,5}C_{0,5}$ ). Были синтезированы и проанализированы продукты состава  $2Nb+Al+0,5C$ , полученные в режиме горения при давлениях азота 60, 30, 15 и 4 атм. Согласно данным рентгенофазового анализа, при давлениях азота 60, 30, 15 атм образуются многофазные продукты, состоящие из  $Al_2Nb_3C$ ,  $Nb_4N_{3,9}$ ,  $NbC$  (рис. 4). И только при давлении азота 4 атм на дифрактограмме синтезированного продукта присутствуют отражения, принадлежащие  $Nb_2AlC$ . Материал с МАХ-фазой  $Nb_2AlC$  был получен СВС-методом при использовании химической печки (рис. 4, д).

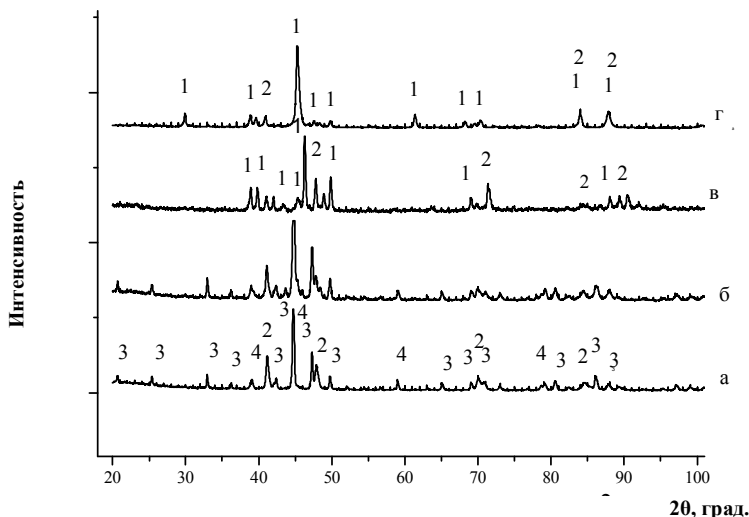


Рис. 4. Дифрактограммы СВС-продуктов системы Nb-Al-C, синтезированных в атмосфере азота: а – при давлении 60 атм; б – при давлении 15 атм; в – при давлении 4 атм; г – в химической печи.  
1 –  $Nb_2AlC$ ; 2 –  $NbC$ ; 3 –  $Al_2Nb_3C$ ; 4 –  $NbC_{0,5}$

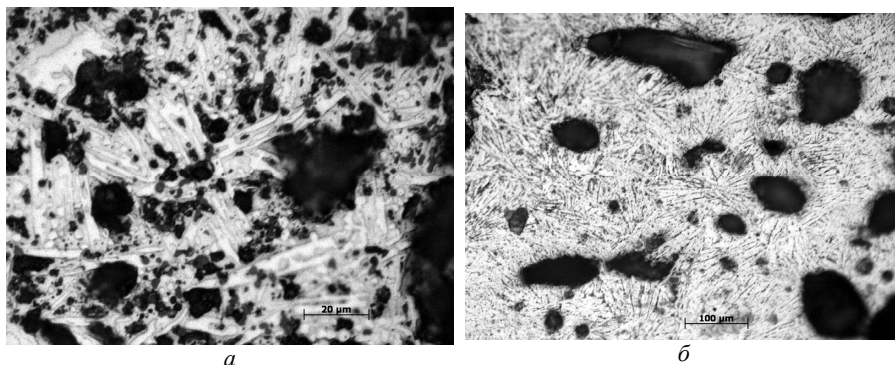


Рис. 5. Микроструктуры продуктов системы Nb-Al-C, синтезированных в атмосфере азота: а – 60 атм, б – 4 атм

На рис. 5 приведены микроструктуры СВС-продуктов системы Nb-Al-C, полученные при давлениях азота 60 и 4 атм. На микрофотографии 5, *а* пластинчатые кристаллы принадлежат тройному соединению  $Al_2Nb_3C$ , фазы округлой формы –  $Nb_4N_{3,9}$  и NbC. На рис. 5, *б* приведена микроструктура образца, синтезированного при давлении 4 атм. Хорошо видны кристаллы пластинчатой формы, характерные для образцов с наноламинатной структурой.

На рис. 6 приведена микроструктура образца состава  $2Nb+Al+0,5C$ , синтезированного СВС-методом с помощью химической печи. Большую часть объема занимают кристаллы пластинчатой формы, которые, согласно данным рентгенофазового анализа, являются фазой  $Nb_2AlC$ . Имеются округлые области, появление которых может быть связано с недостатком углерода в исходной шихте. В микроструктуре образцов состава  $2Nb+Al+C$  таких областей нет.

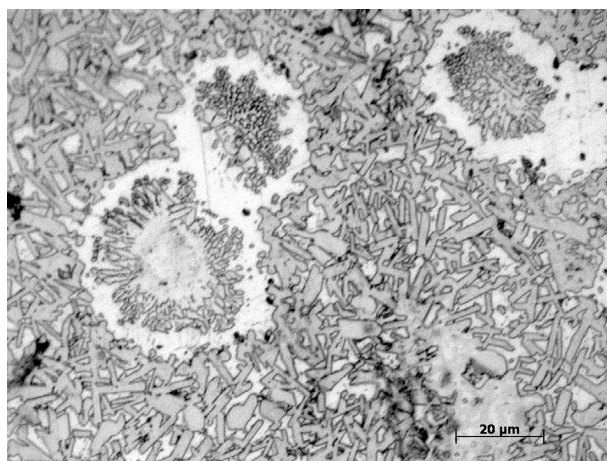


Рис. 6. Микроструктура образца состава  $2Nb+Al+0,5C$ , синтезированного с помощью химической печи

### **Заключение**

Методом самораспространяющегося высокотемпературного синтеза получены композиционные материалы на основе МАХ-фаз  $Ti_3SiC_2$  и  $Nb_2AlC$ . Установлены режимы СВ-синтеза, обеспечивающие в материале максимальное содержание фаз  $Ti_3SiC_2$  и  $Nb_2AlC$ .

### **Литература**

1. Barsoum M.W., El-Raghy T. // J. Am. Ceram. Soc. 1966. Vol. 79. P. 1953–1956.
2. Goto T., Hirai T. // Mater. Res. Bull. 1987. Vol. 22. P. 1195–1201.
3. Sun Z., Zhang Y., Zhou Y. // Scr. Mater. 1999. Vol. 41, No. 1. P. 61–66.
4. Sun Z., Zhou Y. // J. Mater. Res. Innovated. 1999. Vol. 2. P. 227–231.

5. *Голдин Б.А., Истомин П.В., Рябков Ю.И.* // Неорганические материалы. 1997. Т. 33, № 6. С. 691–693.

**Авторский коллектив:**

**Радишевский Владислав Леонидович**, студент физического факультета Томского государственного университета (Томск, Россия).

**Лепакова Ольга Клавдиевна**, канд. техн. наук, снс лаборатории гетерогенных металлических систем Томского научного центра СО РАН (Томск, Россия). E-mail: lepakova@dsm.tsc.ru

**Афанасьев Николай Иванович**, д-р физ.-мат. наук, руководитель лаборатории гетерогенных металлических систем Томского научного центра СО РАН (Томск, Россия). E-mail: af42@yandex.ru

*Tomsk State University Journal of Chemistry*, 2015, 1, 33-38. DOI: 10.17223/24135542/1/5

---

**V.L. Radishevskiy<sup>1</sup>, \*O.K. Lepakova<sup>2</sup>, N.I. Afanasiev<sup>2</sup>**

<sup>1</sup> *Tomsk state university (Tomsk, Russian Federation)*

<sup>2</sup> *Department for Structural Macrocineitics, Tomsk Scientific Centre, SB RAS  
(Tomsk, Russian Federation)*

\*E-mail: lepakova@dsm.tsc.ru

### **Synthesis, structure and characteristics of Ti<sub>3</sub>SiC<sub>2</sub> and Nb<sub>2</sub>AlC MAX-PHASES**

*Composite materials on the base of Ti<sub>3</sub>SiC<sub>2</sub> and Nb<sub>2</sub>AlC MAX-phases were obtained by the method of self-propagating high temperature synthesis (SHS). The main methods of Ti-Si-C and Nb-Al-C systems' products of synthesis research were metallographic with application of optical microscopy (Axiovert 200M, Karl Zeiss) and raster electronic microscopy (SEM515, Philips). Phase composition of SH-synthesized samples was defined by diffractometer DRON-2 (CoKa-emission). Research of elemental composition was made by electron microprobe analyzer CAMEBAX MICROBEAM.*

*SH-synthesis in Ti-Si-C system lead to formation of the porous composite material Ti<sub>3</sub>SiC<sub>2</sub> – (12–15)vol. % TiC. Vacuum annealing of synthesis' products in the temperature of 1670K during 4 hours or sintering of powders after grinding of composite material Ti<sub>3</sub>SiC<sub>2</sub> – (12–15)vol. % TiC in the same regimes lead to obtainment of almost single-phase product consisting of the titanium carbolized Ti<sub>3</sub>SiC<sub>2</sub>. Research of SHS-composite material kink microstructures Ti<sub>3</sub>SiC<sub>2</sub>-TiC showed that material under the load undergoes inter- and transcrystalline bundle.*

*Products with composition of 2Nb+Al+0,5C were synthesized by the method of SHS. Synthesis was made in the nitrogen atmosphere in the pressures of 60, 30, 15 and 4 atm. Methods of x-ray diffraction metallographic analysis showed that the highest content of Nb<sub>2</sub>AlC Max-phase contains in samples, sythesed in nitrogen pressure of 4 atm. Samples, synthesized in nitrogen pressure of 15,30 and 60 atm., besides (Nb<sub>2</sub>AlC) MAX-phase contain NbC, Al<sub>2</sub>Nb<sub>3</sub>C, NbC<sub>0,5</sub>. 2Nb+Al+0,5C and 2Nb+Al+C compositions' products synthesized by SHS metods by the chemical furnace (Ti + 0,8C) were also researched. In the both cases the most part of grinds' surface volume is occupied by leaf shaped crystals which according to the data of x-ray diffraction analysis are Nb<sub>2</sub>AlC Max-Phase. Microstructure of composition 2Nb+Al+0,5C samples besides leaf shaped crystals (Nb<sub>2</sub>AlC) contains rounded regions. Because microstructure of composition 2Nb+Al+C samples doesn't have such regions, we may assume that its appearance is related to the lack of carbon in the original charge.*

**Keywords:** *self-propagating high temperature synthesis (SHS); structure; MAX-Phases.*